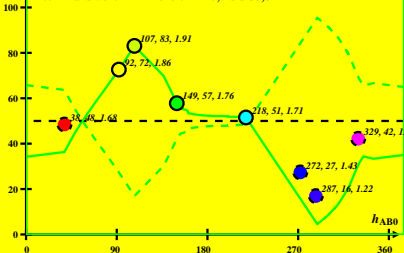


CIE-D65-Daten von -Ostwald-Farben von maximalem Buntwert C_{AB}
 $Y_w=88,6$, $Y_m=520_770$, $B_m=380_520$ und 1-Minus-Daten (- -)

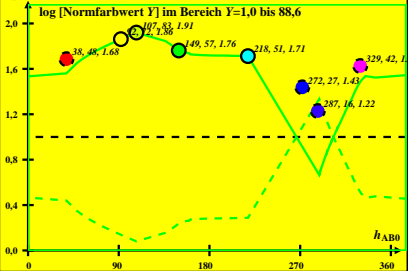
Normfarbwert Y im Bereich $Y=0,0$ bis $88,6$



DG471-1 A_1

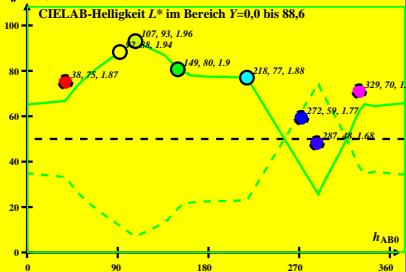
DG471-1 A

CIE-D65-Daten von -Ostwald-Farben von maximalem Buntwert C_{AB}
 $Y_w=88,6$, $Y_m=520,770$, $B_m=380,520$ und 1-Minus-Daten (- -)



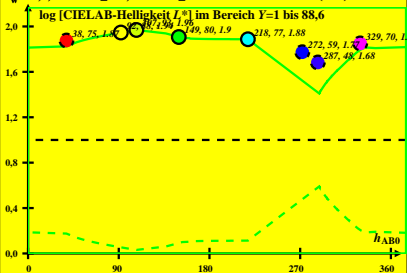
CIE-D65-Daten von -Ostwald-Farben von maximalem Buntwert C_{AB}
 $Y_w=88,6$, $Y_m=520,770$, $B_m=380,520$ und 1-Minus-Daten (- -)

CIELAB-Helligkeit L^* im Bereich $Y=0,0$ bis $88,6$



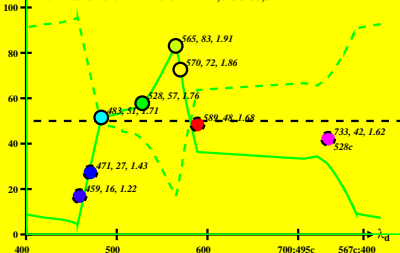
DG471-3A_1

CIE-D65-Daten von -Ostwald-Farben von maximalem Buntwert C_{AB}
 $Y_w=88,6$, $Y_m=520,770$, $B_m=380,520$ und 1-Minus-Daten (- -)



CIE-D65-Daten von -Ostwald-Farben von maximalem Buntwert C_{AB}
 $Y_w=88,6$, $Y_m=520_770$, $B_m=380_520$ und 1-Minus-Daten (- -)

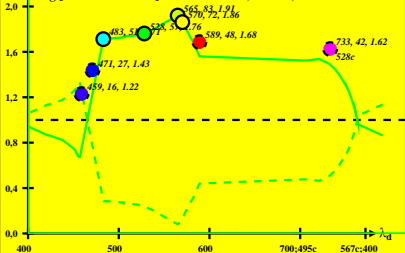
Normfarbwert Y im Bereich $Y=0,0$ bis $88,6$



DG471-5A_1

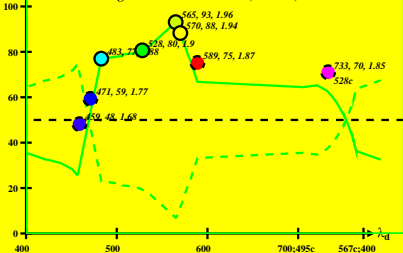
CIE-D65-Daten von -Ostwald-Farben von maximalem Buntwert C_{AB}
 $Y_w=88,6$, $Y_m=520_770$, $B_m=380_520$ und 1-Minus-Daten (- -)

log [Normfarbwert Y] im Bereich $Y=1,0$ bis $88,6$



CIE-D65-Daten von -Ostwald-Farben von maximalem Buntwert C_{AB}
 $Y_w=88,6$, $Y_m=520_770$, $B_m=380_520$ und 1-Minus-Daten (- -)

CIELAB-Helligkeit L^* im Bereich $Y=0,0$ bis $88,6$



CIE-D65-Daten von -Ostwald-Farben von maximalem Buntwert C_{AB}
 $Y_w=88,6$, $Y_m=520_770$, $B_m=380_520$ und 1-Minus-Daten (- -)

